

Зона обзора составляла  $1.2 \times 1.2$  мм. Из рисунка видно, что проявляются как топология областей эпитаксии, так и неоднородность теплофизических свойств по объему эпитаксиальной области. Наблюдается различный контраст от областей  $p$ - и  $n$ -типа проводимости, однако степень контраста на различных участках исследуемой эпитаксиальной структуры существенно различается. Так, топология  $p-n$ -областей визуализируется либо резким перепадом контраста ФА топограммы, либо только контуром границы этих областей. Сильное падение уровня ФА сигнала от  $p$ -области в правой части образца связано с позиционной чувствительностью пьезодатчика на данной частоте модуляции. Дальнейшие исследования кремниевых эпитаксиальных структур с паспортизованными данными, по-видимому, позволят однозначно связать степень контраста ФА топограмм с конкретными параметрами  $p$ - и  $n$ -областей. Кроме топологии  $p$ - и  $n$ -областей, хорошо визуализируются подповерхностные нарушения, проявляющиеся в виде светлых линейных областей высокого контраста. Подобные линейные области могут быть обусловлены наличием структурных нарушений типа заполированных царапин, трещин и т. п., возникающих в результате механической обработки поверхности полупроводниковых пластин с последующей их полировкой.

В заключение отметим, что визуально области эпитаксии были иерархичны, т. е. оптический контраст не наблюдался. При специальном освещении образца можно наблюдать лишь контур границы эпитаксиальной области. При наблюдении же указанных структур в растровом электронном микроскопе в режиме отраженных электронов контраст  $p$ - и  $n$ -областей практически неразличим. Фотометрические его измерения дали величину не более 0.12.

Таким образом, представленные в данной работе результаты по исследованию кремниевых эпитаксиальных структур иллюстрируют уровень качества технологических операций, применяемых при получении таких структур, а также показывают достаточно высокую диагностическую эффективность метода ФА микроскопии.

#### Список литературы

- [1] Морозов А. И., Раевский В. Ю. // Зарубеж. электрон. техн. 1982. № 2. С. 46—71.
- [2] Rosencwaig A. // Ultrason. Symp. Proc. Boston, 1980. V. 1. P. 600—607.
- [3] Pay Э. И. // Зав. лаб. 1987. Т. 53. В. 10. С. 31—38.
- [4] Smith W. et al. // Sol. St. Techn. 1986. V. 1. P. 85—92.
- [5] Булах Г. И., Бурбело Р. М., Жабитенко Н. К., Кучеров И. Я. // Лазерная технология. Вильнюс, 1988. № 6. С. 153—154.

Киевский  
государственный университет  
им. Т. Г. Шевченко

Получено 6.06.1989  
Принято к печати 2.01.1990

ФТП, том 24, вып. 5, 1990

#### «ЭНЕРГЕТИЧЕСКАЯ КВАЗИБАЛЛИСТИКА» В МИКРОСТРУКТУРАХ НА GaAs ПРИ НИЗКИХ ТЕМПЕРАТУРАХ

Дубровский Ю. В., Ларкин И. А., Морозов С. В., Борисов А. В.,  
Бунин Г. Г., Иноzemцев С. А., Лапин В. Г., Малахов Б. А.

В результате развития технологии эпитаксии и микроструктурирования в последние годы появились экспериментальные исследования короткоканальных эффектов в полупроводниках, проявляющихся в тех случаях, когда размеры исследуемой структуры  $L$  в направлении движения электронов меньше характерных длин в твердом теле или порядка их. При  $L \sim \lambda_B$  ( $\lambda_B$  — длина волны Де Бройля) наблюдаются интерференционные явления [1], при  $L \leq l_p$ , ( $l_p$  — длина

свободного пробега) — эффекты, связанные с баллистическим, т. е. бесстолкновительным пролетом электронов [2]. В нашей работе впервые экспериментально исследовались особенности электронного транспорта в случае  $l_p \ll L < l_e$  ( $l_e$  — длина энергетической релаксации). Эти особенности мы связываем с неоднородностью электронной температуры  $T_e$  вдоль канала и насыщением  $T_e$  при тянувших напряжениях  $V_c$ , приложенных к образцу, порядка энергии оптического фона  $\hbar\Omega_0$ . В области неоднородной  $T_e$  электроны движутся практически без релаксации по энергии. Такое движение мы назвали «энергетической квазибаллистикой».

Измерения проводились на образцах из GaAs с топологией полевых транзисторов с затворами на барьерах Шоттки (ПТШ) с длинами затворов  $L=0.3, 5, 10$  и  $500$  мкм и шириной  $100$  мкм. ПТШ изготавливались на эпитаксиальных

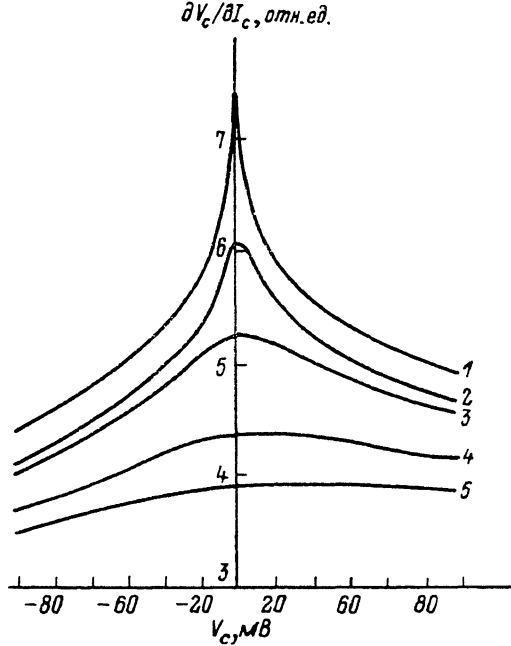


Рис. 1. Зависимость дифференциального сопротивления от тянущего напряжения при различных температурах ( $L=0.3$  мкм).

Т, К: 1 — 4.2, 2 — 28, 3 — 70, 4 — 110, 5 — 150.

пленках с  $N_D - N_A \approx 10^{17}$  см<sup>-3</sup>. Известно [3], что по крайней мере для  $L=0.3$  мкм условие  $L \ll l_e$  хорошо выполняется для  $T \leqslant 50$  К.

Измерялось дифференциальное сопротивление канала  $\partial V_c / \partial I_c$  как функция тянущего напряжения  $V_c$  между стоком и истоком. Фиксированное напряжение на затворе  $V_s$  выбиралось таким, чтобы канал оставался открытим, но сопротивление было намного больше сопротивлений участков исток—канал, канал—сток и сопротивлений контактов, что позволяет исключить их из рассмотрения.

Примеры экспериментальных зависимостей  $\partial V_c / \partial I_c = f(V_c)$  при различных температурах приведены на рис. 1 для  $L=0.3$  мкм и на рис. 2 для  $L=10$  мкм. Отметим следующие важные особенности экспериментальных результатов: 1) дифференциальное сопротивление с увеличением напряжения  $V_c$  быстро падает, а начиная с  $V_c \sim 10$  мВ меняется значительно слабее; 2) при  $T=4.2$  К экспериментальные кривые для  $L=0.3, 5$  и  $10$  мкм имеют одинаковый вид в одном и том же масштабе по напряжению; 3) для  $L=500$  мкм  $\partial V_c / \partial I_c = \text{const}$  при всех температурах; 4) с увеличением температуры зависимость  $\partial V_c / \partial I_c = f(V_c)$  становится более слабой, а затем практически исчезает при некоторой температуре  $T^*$ , причем чем больше  $L$ , тем меньше  $T^*$ .

Качественно экспериментальные результаты можно объяснить следующим образом. Несмотря на малые  $V_c$ , из-за малых  $L$  в образце возникают значительные (греющие) электрические поля (например, при  $L=0.3$  мкм  $V_c=10$  мВ соот-

ветствует  $E \approx 300$  В/см), в которых электроны разогреваются до температуры  $T_e \sim eV_c$ , так как потери на акустических фононах малы. В исследуемой температурной области сопротивление обусловлено в основном рассеянием на примесях. Время релаксации по импульсу  $\tau_p(T_e) = \tau_p(T_e/\hbar\Omega_0)^{1/2}$  [4], следовательно, дифференциальное сопротивление падает с увеличением  $V_c$ . Когда  $eV_c \sim T_e^* \sim \hbar\Omega_0$ , появляется мощный канал потерь энергии электронов и  $T_e$  насыщается, а  $dV_c/dI_c$  выполняется. Другими словами, с увеличением  $V_c$   $I_e$  сначала сравнивается с  $L$ , а затем становится меньше. С увеличением температуры решетки  $l_e$  также уменьшается и эффект пропадает сначала для  $L=10$  мкм, а затем и для  $L=0.3$  мкм. При  $L=500$  мкм существенный вклад будут давать потери на акустических фононах, поэтому  $I_e \ll L$  при любых  $V_c$  и нелинейность не наблюдается.

Для количественных оценок сделаем следующие предположения. В области малых тянувших напряжений концентрация электронов вдоль канала и его ширина постоянны, тогда дрейфовая скорость  $U$  также постоянна. При малых тя-

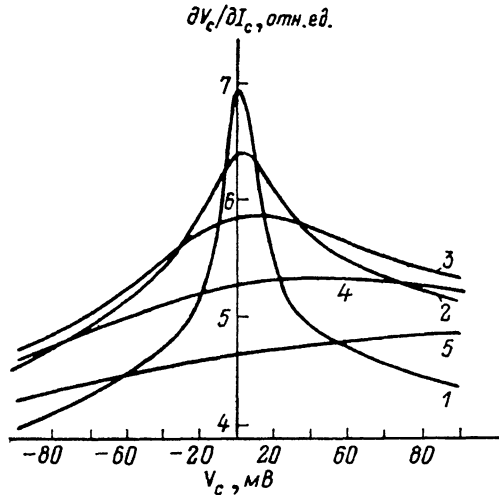


Рис. 2. Зависимость дифференциального сопротивления от тянущего напряжения при различных температурах ( $L=10$  мкм).

$T_e$ , К: 1 — 4.2, 2 — 28, 3 — 42, 4 — 55, 5 — 70.

нущих напряжениях мощность потерь на фонах мала и электронная температура на выходе из канала растет линейно с ростом  $V_c$ . В этом случае для  $T_e$  и  $U$  можно написать

$$T_e \sim eV_c, \quad (1)$$

$$U \sim \frac{V_c}{L} \frac{\tau_p(T_e)}{m^*}. \quad (2)$$

С другой стороны, при больших тянувших напряжениях температура в канале практически постоянна, за исключением короткой области вблизи начала канала. Уравнение теплового баланса, определяющее эту температуру, имеет вид

$$\frac{m^* U^2}{\tau_p(T_e)} = P_{ph}(T_e), \quad (3)$$

где  $P_{ph}(T_e)$  — мощность потерь электронного газа на фонах [4]:

$$P_{ph}(T_e) \approx \frac{\hbar\Omega_0}{\tau_0} \exp\left(-\frac{\hbar\Omega_0}{T_e}\right).$$

Найдем температуру  $T_e^*$ , которая соответствует смене режима. Положив  $eV_c \approx \hbar\Omega_0$ , из (1)–(3) с логарифмической точностью получим  $T_e^* \approx \hbar\Omega_0 / \ln(m^* L^2 / \tau_0 \tau_p \hbar\Omega_0)^{1/2}$ . Очевидно, что описываемый эффект можно наблюдать при  $T < T_e^*$ . Для  $L=0.3$  мкм  $T_e^* = 123$  К, для  $L=5$  и 10 мкм  $T_e^* = 47$  и 41 К соответственно.

Эти численные оценки, на наш взгляд, очень хорошо согласуются с экспериментом и подтверждают предложенную физическую модель.

Авторы выражают признательность И. Б. Левинсону и В. А. Тулину за полезные дискуссии.

### Список литературы

- [1] Brown E. R., Goodhue W. D., Soller T. C. L. G. // J. Appl. Phys. 1988. V. 64. N 3. P. 1519—1529. Schmid H., Rishton S. A., Kern D. P. et al. // J. Vac. Sci. Techn. 1988. V. B6. N 1. P. 122—126.
- [2] Heiblum M., Nathan M. I., Thomas D. C., Knoedler C. M. // Phys. Rev. Lett. 1985. V. 55. N 20. P. 2200—2203.
- [3] Дубровский Ю. В., Красняк В. В. // ФТП. 1987. Т. 21. В. 1. С. 170—173.
- [4] Гантмахер В. Ф., Левинсон И. Б. Рассеяние носителей тока в металлах и полупроводниках. М., 1984. 350 с.

Институт проблем технологии микроэлектроники  
и особочистых материалов АН СССР  
Черноголовка

Получено 26.09.1989  
Принято к печати 2.01.1990

ФТП, том 24, вып. 5, 1990

## ИЗЛУЧЕНИЕ $n$ -InSb В ДАЛЕКОЙ ИК ОБЛАСТИ

Колюх А. Г., Малютенко В. К., Мороженко В. А.

Разогрев электронов в полупроводниках в сильных электрических полях приводит к появлению неравновесного внутризонного излучения. Такое излучение, обусловленное эмиссией электроном фотона с поглощением или испусканием фононов, наблюдалось в ИК диапазоне [1, 2], соответствующем так называемой «активной» области энергий электронов с  $\epsilon > k\Theta$ , где  $\Theta$  — температура оптического фонона. Измерения ограничивались температурой жидкого азота.

В работе исследовалось излучение свободных электронов в греющих электрических полях, не превышающих порога ударной ионизации в спектральной области 90—100 мкм («пассивная» область —  $\epsilon < k\Theta$ ). Как показывают расчеты и оценки [3], при низких температурах в электрическом поле  $E \leq 200$  В/см при слабом межэлектронном рассеянии в области  $\epsilon < k\Theta$  находится основная часть электронов, которая определяет электрические и оптические свойства полупроводника.

В эксперименте использовался чистый  $n$ -InSb с концентрацией нескомпенсированной примеси  $n = 3.5 \cdot 10^{13}$  см<sup>-3</sup> и холловской подвижностью при  $T = 77$  К  $\mu_0 = 5.3 \cdot 10^5$  см<sup>2</sup>/В·с. Образцы прямоугольной формы с размерами  $1 \times 3 \times 0.1$  мм крепились на держателе с регулируемой температурой. Разогрев носителей осуществлялся прямоугольными электрическими импульсами длительностью 0.5 мкс и частотой повторения 100 Гц. Отсутствие инжеクции определялось как видом вольтамперной характеристики (ВАХ), так и формой импульса тока. Сигнал излучения, возникающий синхронно с импульсом приложенного к образцу поля, регистрировался фотодиодом Ge : Ga ( $\lambda_{\max} \approx 100$  мкм), находящимся при гелиевой температуре, с использованием фазового детектирования.

На рис. 1 приведена полевая зависимость мощности излучения при различных температурах. Как видно, зависимости имеют сверхлинейный вид: крутой рост  $\Delta P$  наблюдается с  $E > 20$  В/см, когда разогрев уже заметен. Кривая  $\Delta P(E)$  может быть представлена степенной зависимостью  $\Delta P \sim E^r$ , где  $r \approx 2$ .

Из рисунка видно, что изменение температуры решетки кристалла  $T_p$  существенно влияет на интенсивность внутризонного излучения, поэтому представляет интерес наблюдение излучения в широкой области температур.

На рис. 2 представлена зависимость мощности излучения от температуры решетки в условиях существенного разогрева электронов ( $E = 100$  В/см). Как